

УДК 548.73

КРИСТАЛЛИЧЕСКИЕ СТРУКТУРЫ $[M(\text{En})_3](\text{ReO}_4)_2$ ($M = \text{Ni}, \text{Zn}$)**С.П. Храненко¹, Е.А. Быкова², А.В. Задесенец^{1,3}, С.А. Громилов^{1,3}**¹*Институт неорганической химии им. А.В. Николаева СО РАН, Новосибирск, Россия**E-mail: grom@niic.nsc.ru*²*Bayerisches Geoinstitut, University of Bayreuth, Bayreuth, Germany*³*Новосибирский национальный исследовательский государственный университет, Россия**Статья поступила 29 марта 2016 г.*

Изучено строение двух изоструктурных фаз $[M(\text{En})_3](\text{ReO}_4)_2$ ($M = \text{Ni}, \text{Zn}$; En — этилендиамин). Кристаллические структуры относятся к триклинической сингонии, но демонстрируют псевдогексагональный мотив упаковки. Показано, что продукт термического разложения $[\text{Zn}(\text{En})_3](\text{ReO}_4)_2$ (атмосфера водорода, 400 °C) представляет собой гомогенную смесь нанокристаллических порошков цинка и рения с размерами областей когерентного рассеяния ~30 нм.

DOI: 10.15372/JSC20170113

Ключевые слова: никель, цинк, рений, этилендиамин, кристаллохимия, рентгеноструктурный анализ.

Биметаллические комплексные соли (КС) представляют интерес как удобные предшественники металлических тугоплавких наносплавов. Получение таких сплавов с участием рения путем термического разложения соответствующих КС было описано в ряде работ [1—9]. Особо следует отметить, что наносплавы образуются при температурах до 700 °C, т.е. заметно ниже температур плавления компонентов. Так, в работе [10] был получен сплав Os_{0,5}Re_{0,5} при 500 °C, что в 6 раз ниже температур плавления рения и осмия (3180 и 3054 °C соответственно).

Наличие в составе КС органического лиганда-восстановителя позволяет рассчитывать на получение сплава при термическом разложении КС в инертной атмосфере He. В этом плане этилендиаминовые катионы представляют особый интерес. В [11] показано, что термическое разложение $[\text{Pt}(\text{En})_2](\text{ReO}_4)_2$ (En — этилендиамин) в атмосфере He при 880 °C приводит к образованию твердого раствора Pt_{0,33}Re_{0,67}.

Кристаллохимический интерес к изучению КС связан с изучением закономерностей взаимной упаковки катионных и анионных фрагментов структуры при различных соотношениях между их формами и численными соотношениями, например в структуре $[\text{Co}(\text{En})_3](\text{ReO}_4)_3$ соотношение комплексных катионов (КК) и перренат-анионов (соответственно и соотношение металлов) равно 1:3 [12], а в $[\text{Ni}(\text{En})_3](\text{ReO}_4)_2$ 1:2 [13]. Представляется целесообразным поиск изоструктурных КС, что позволяет целенаправленно синтезировать предшественники с тремя (и более) сортами атомов металлов и варьировать их соотношения в широких пределах.

ЭКСПЕРИМЕНТ

[ZnEn₃](ReO₄)₂. На первом этапе синтезировали комплекс $[\text{Zn}(\text{En})_3](\text{NO}_3)_2$. 1 ммоль Zn(NO₃)₂·6H₂O (Ч), растворяли в 10 мл ацетона (ОСЧ) и вносили в раствор, охлажденный

льдом. Затем при перемешивании вносили 4 ммоля этилендиамина (Ч). Выпавший белый кристаллический осадок отсасывали на стеклянном пористом фильтре, трижды промывали ацетоном и высушивали на воздухе при комнатной температуре. Выход продукта 97—98 %. Идентификацию $[Zn(En)_3](NO_3)_2$ проводили методом рентгенофазового анализа (РФА) по литературным данным [14].

На втором этапе 2 ммоля $[Zn(En)_3](NO_3)_2$ (1,5 г) растворяли в 5 мл воды и вносили в раствор при перемешивании $NaReO_4$ (ЧДА, 4 ммоля, 1,093 г) в трех мл H_2O . Выделившийся белый кристаллический осадок отсасывали на пористом фильтре, промывали небольшим объемом воды, затем ацетоном и высушивали на воздухе при комнатной температуре. Выход продукта 71—72 %. Дополнительную порцию соединения удалось выделить при концентрировании вдвое маточного раствора. Кристаллы для проведения рентгеноструктурного исследования получали медленным испарением разбавленного водного раствора комплекса.

ИК спектры регистрировали на ИК Фурье-спектрометрах Scimitar FTS-2000 и Vertex 80 (область 4000—400 cm^{-1} ; таблетки, запрессованные с KBr). Основные линии: 3346_c, 3285_c, 3168_{сл}, 2955_{ср}, 2930_{сл.}, 2885_{ср}, 1576_{ср}, 1460_{ср}, 1329_{ср}, 1277_{сл}, 1138_{сл}, 1130_{сл}, 1006_c, 970_{ср}, 913_c, 652_{ср}, 500_{ср}, 462_{сл} cm^{-1} .

$\beta-[Ni(En)_3](ReO_4)_2$. Кристаллы были получены при медленном (~6 месяцев) концентрировании маточного раствора, оставшегося после синтеза $\alpha-[Ni(En)_3](ReO_4)_2$, описанного в работе [13]. По данным РФА полученный продукт представляет собой смесь α - и β -модификаций.

Рентгенодифрактометрическое исследование синтезированных продуктов проведено на дифрактометре SHIMADZU XRD7000 ($CuK\alpha$ -излучение, Ni -фильтр, сцинтилляционный детектор) при комнатной температуре. Дифрактограммы комплексных солей полностью проиндексированы по данным исследования монокристаллов. Использована программа полнопрофильного уточнения PCW [15]. Рентгенофазовый анализ продукта термического разложения $[Zn(En)_3](ReO_4)_2$ (атмосфера водорода, 400 °C) показал образование двухфазного продукта — гомогенной смеси нанокристаллических цинка и рения с размерами областей когерентного рассеяния ~30 нм.

Исследование монокристаллов проведено на дифрактометре X8 APEX Bruker ($MoK\alpha$ -излучение, графитовый монохроматор) при $T = 150$ К. Кристаллографические данные, условия проведения экспериментов и характеристики уточнения кристаллических структур приведены в табл. 1, основные межатомные расстояния и валентные углы — в табл. 2. Структуры решены прямым методом и уточнены в анизотропном (изотропном — для атомов водорода) приближении. Атомы водорода заданы геометрически. Все расчеты выполнены по комплексу программ SHELX-97 [16]. Координаты и тепловые параметры атомов депонированы в Кембриджский банк структурных данных CCDC [17] (соответствующие номера указаны в табл. 1) и могут быть получены по адресу www.ccdc.cam.ac.uk/data_request/cif.

ОБСУЖДЕНИЕ РЕЗУЛЬТАТОВ И ВЫВОДЫ

В ходе проведения рентгеноструктурного анализа монокристаллов была установлена изоструктурность $\beta-[Ni(En)_3](ReO_4)_2$ и $[Zn(En)_3](ReO_4)_2$. Обе структуры триклинические, на каждый КК $[M(En)_3]^{2+}$ приходится два перренат-аниона. Далее будет дано описание кристаллической структуры $\beta-[Ni(En)_3](ReO_4)_2$. На рис. 1 показано: строение ионов, нумерация атомов, эллипсоиды тепловых колебаний и один из кратчайших межионных контактов. Координационный полиэдр центрального атома в КК представляет собой искаженный октаэдр, образованный шестью атомами азота трех бидентатных En-лигандов. Все лиганды имеют *гоii*-конфигурацию — атомы углерода отклоняются от плоскостей треугольников N—M—N в разные стороны. Величины отклонений для трех лигандов даны в последней строкке табл. 2.

При анализе кристаллической структуры $\alpha-[Ni(En)_3](ReO_4)_2$ (кристаллоструктурные характеристики см. в табл. 3) в работе [13] были выделены характерные четверки перренат-анионов, образующие паркетную укладку с расстояниями Re...Re 4,315 и 4,703 Å. Принципиальное отличие $\beta-[Ni(En)_3](ReO_4)_2$ — наличие двух типов перренат-анионов (рис. 2). Анионы, содержа-

Таблица 1

Кристаллографические характеристики

| | | |
|--------------------------------------------------|-----------------------------------|-------------------------------------|
| Формула | $\beta\text{-[Ni(En)3](ReO}_4)_2$ | $[\text{Zn(En)}_3](\text{ReO}_4)_2$ |
| Брутто-формула | $C_6H_{24}N_6O_8Re_2Ni$ | $C_6H_{24}N_6O_8Re_2Zn$ |
| Вес форм. единицы | 739,42 | 746,08 |
| $a, b, c, \text{\AA}$ | 8,3936(5), 9,0102(5), 14,1600(6) | 8,4393(3), 9,0561(3), 14,2055(5) |
| $\alpha, \beta, \gamma, \text{град.}$ | 72,715(1), 79,594(1), 63,021(1) | 72,004(2), 79,743(2), 63,142(1) |
| Пр. гр. | $P-1$ | $P-1$ |
| $Z; V, \text{\AA}^3$ | 2; 909,93(8) | 2; 920,24(6) |
| $d_{\text{выч}}, \text{г/см}^3$ | 2,699 | 2,693 |
| Размер кристалла, мм | 0,09×0,06×0,06 | 0,12×0,07×0,03 |
| Диапазон сбора данных по θ , град. | 2,62—30,51 | 1,51—30,50 |
| N измер. / независ. рефлексов | 8640 / 5366 | 11216 / 5569 |
| N независимых рефлексов [$I > 2\sigma(I)$] | 4447 | 4763 |
| $R_{\text{интегр.}}$ | 0,0192 | 0,0214 |
| Полнота сбора данных ($2\theta = 50^\circ$), % | 98,1 | 99,9 |
| Число уточняемых параметров | 208 | 208 |
| S -фактор по F^2 | 1,018 | 0,990 |
| $R_1 / wR_2 [I > 2\sigma(I)]$ | 0,0272 / 0,0510 | 0,0209 / 0,0387 |
| R_1 / wR_2 (все данные) | 0,0384 / 0,0534 | 0,0280 / 0,0402 |
| CCDC № | 1468087 | 1468088 |

Таблица 2

Геометрические характеристики $[M(\text{En})_3](\text{ReO}_4)_2$

| Параметр | $\beta\text{-[Ni(En)}_3](\text{ReO}_4)_2$ | $[\text{Zn(En)}_3](\text{ReO}_4)_2$ |
|---------------------------------------------|---------------------------------------------------|---------------------------------------------------|
| $M-N, \text{\AA}$ | 2,115(3)—2,137(4) | 2,175(3)—2,219(2) |
| $(M-N)_{\text{cp}}, \text{\AA}$ | 2,125 | 2,199 |
| $\angle N-M-N, \text{град.}$ | 81,20(13)—81,63(14) | 78,9(1)—79,9(1) |
| $(\angle N-M-N)_{\text{cp}}, \text{град.}$ | 81,48 | 79,5 |
| $N-C, \text{\AA}$ | 1,470(4)—1,486(4) | 1,477(4)—1,489(4) |
| $(N-C)_{\text{cp}}, \text{\AA}$ | 1,481 | 1,482 |
| $C-C, \text{\AA}$ | 1,508(7)—1,523(6) | 1,501(5)—1,526(4) |
| $(C-C)_{\text{cp}}, \text{\AA}$ | 1,513 | 1,515 |
| $Re-O, \text{\AA}$ | 1,708(4)—1,734(3) | 1,708(2)—1,731(3) |
| $(Re-O)_{\text{cp}}, \text{\AA}$ | 1,720 | 1,723 |
| $\angle O-Re-O, \text{град.}$ | 107,9(2)—111,8(2) | 107,95(12)—111,42(13) |
| $(\angle O-Re-O)_{\text{cp}}, \text{град.}$ | 109,5 | 109,47 |
| $\Delta, \text{\AA}^*$ | -0,393 / 0,323; -0,308 / 0,437; -0,285 / 0,420 | -0,406 / 0,299; -0,337 / 0,391; -0,257 / 0,450 |

* Отклонения атомов углерода от плоскостей треугольников азот—металл—азот для трех лигандов.

щие атомы Re(1), образуют цепочки, внутри которых расстояния Re...Re 4,51 и 4,67 Å; анионы, содержащие Re(2), располагаются парами, в них расстояния Re...Re 4,13 Å. Кратчайшее расстояние между атомами кислорода, принадлежащими соседним перренат-анионам, равно 2,96 Å.

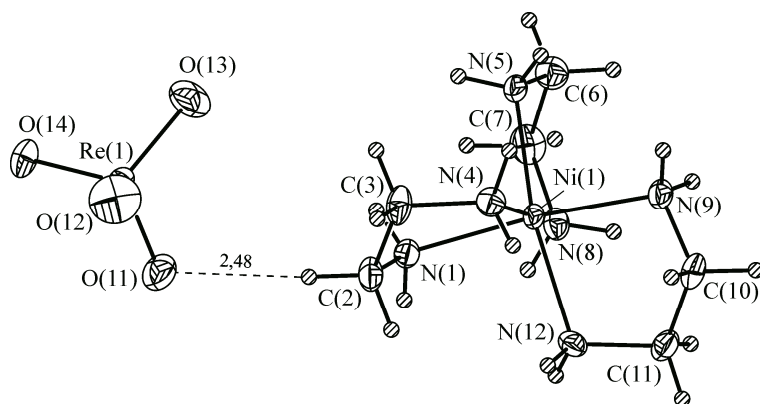


Рис. 1. Нумерация атомов и эллипсоиды тепловых колебаний (кроме атомов H) в кристаллической структуре β -[Ni(En)₃](ReO₄)₂. Второй симметрически независимый анион (ReO₄)⁻ не показан. Штриховой линией показан межионный контакт O...H—C

Таблица 3

Кристаллоструктурные характеристики комплексных солей, содержащих [Ni(En)₃]²⁺

| Формула | α -[Ni(En) ₃](ReO ₄) ₂ | [Ni(En) ₃](ClO ₄) ₂ H ₂ O | [Ni(En) ₃](MoO ₄) | [Ni(En) ₃](NO ₃) ₂ | [Ni(En) ₃](SO ₄) |
|---------------------------------------------|------------------------------------------------------------------|-------------------------------------------------------------------------|-------------------------------------------|-------------------------------------------------------|------------------------------------------|
| Ссылка | [13; 17, XEMWET01] | [17, TENNIP] | [17, GAWSIG01] | [22; 17, YUXZIB05] | [24; 17, TENNIS10] |
| <i>a</i> , Å | * | ** | 16,0024(16) | 8,8647 | 8,946(5) |
| <i>c</i> , Å | | | 9,9608(19) | 11,3595 | 9,634(5) |
| Пр. гр. | <i>P</i> 2 ₁ / <i>c</i> (№ 14) | <i>P</i> bca (№ 61) | <i>P</i> -3 <i>c</i> 1 (№ 165) | <i>P</i> 6 ₃ 22 (№ 182) | <i>P</i> -31 <i>c</i> (№ 163) |
| <i>Z</i> | 4 | 8 | 6 | 2 | 2 |
| <i>V</i> , Å ³ | 1858,68 | 3662,3 | 2209,00 | 773,07 | 667,72 |
| <i>V/Z</i> , Å ³ | 464,67 | 457,79 | 368,17 | 386,53 | 333,86 |
| <i>d</i> _{выч} , г/см ³ | 2,642 | 1,559 | 1,799 | 1,56 | 1,666 |
| Ni—N, Å | 2,114—2,136 | 2,099—2,141 | 2,132; 2,156 | 2,132 | 2,214(6) |
| ∠N—Ni—N, град. | 81,16—81,21 | 80,79—82,24 | 81,0—79,9 | 81,90 | 82,1(2) |
| N—C, Å | 1,470—1,475 | 1,401—1,527 | 1,403—1,486 | 1,470 | 1,476(9) |
| C—C, Å | 1,473—1,498 | 1,399—1,462 | 1,549, 1,554 | 1,471 | 1,544(9) |
| Ni...Ni, Å | 7,195; 8,400 | 8,522; 9,016 | 7,275; 7,334 | 7,646 | 7,241 |

* *a* = 8,3868, *b* = 15,7749, *c* = 14,2747 Å, β = 100,204°.

** *a* = 17,043, *b* = 15,992, *c* = 13,496 Å.

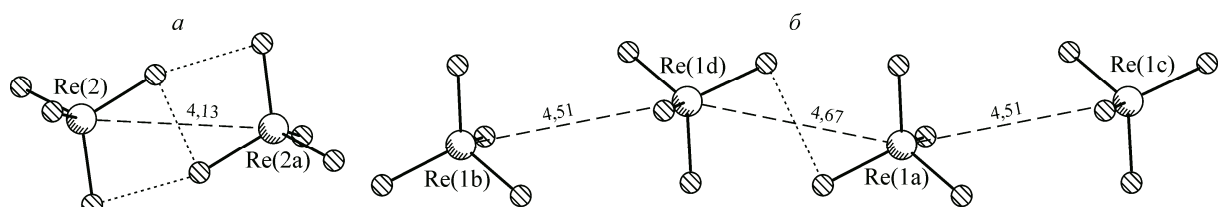


Рис. 2. Взаимное расположение анионов (ReO₄)⁻ в структуре β -[Ni(En)₃](ReO₄)₂. Анионы, содержащие Re(2), располагаются парами (а), содержащие атомы Re(1) образуют цепочки (б). Числовые значения соответствуют расстояниям Re...Re.

Штриховыми линиями показаны контакты O...O < 3,4 Å

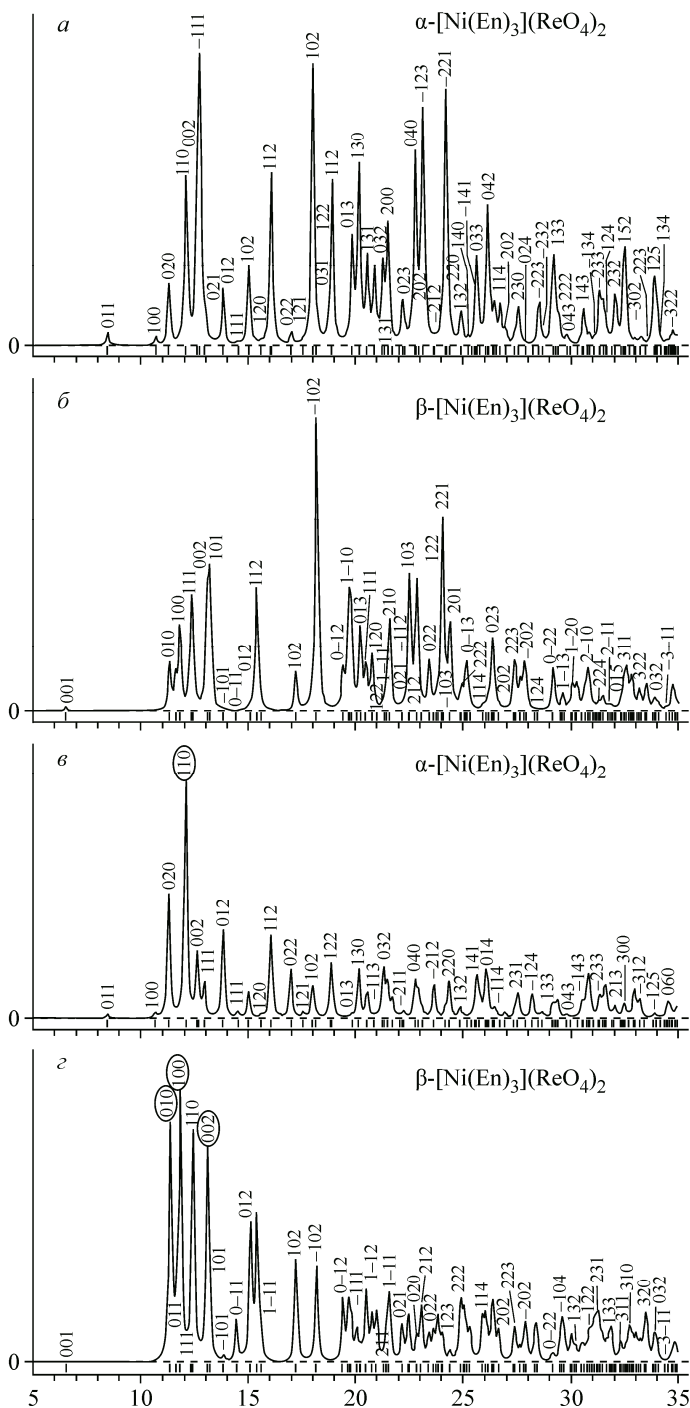


Рис. 3. Теоретические дифрактограммы для α - и β -[Ni(En)₃](ReO₄)₂: результаты расчета по всем атомам (a, б); только по атомам Ni (в, г). Выделены индексы отражений от плоскостей, образующих подрешетку, которой следуют атомы Ni

Исходя из того, что перренат-анионы по размерам существенно уступают КК, при определении мотива построения структур α - и β -[Ni(En)₃](ReO₄)₂ в первую очередь необходимо ориентироваться на поиск взаимного расположения именно катионов. Так как "вес" (т.е. число электронов) центрального атома КК заметно меньше веса атома рения, использование методики выделения трансляционной подрешетки [18], основанной на анализе индексов hkl сильнейших рефлексов дифрактограммы, невозможен. На рис. 3, a, б показаны теоретические дифрактограммы α - и β -[Ni(En)₃](ReO₄)₂. Для выделения вклада катионов были рассчитаны дифрактограммы только по атомам Ni. Использование такого подхода для ряда примеров было описано в [19, 20]. В результате расчета наиболее интенсивные отражения указывают на плоскости, наиболее заселенные конкретными атомами; в нашем случае это атомы никеля. Среди таких плоскостей с помощью программы [21] находим такие тройки, для которых матрица, составленная из индексов hkl , имеет детерминант, равный числу атомов Ni, приходящихся на элементарную ячейку, т.е. числу Z . Далее среди всех возможных вариантов находим такой, в котором подрешетка наиболее симметричная. Для моноклинной структуры α -[Ni(En)₃](ReO₄)₂ такой вариант получен (см. рис. 3, в и табл. 3)

с использованием трех семейств кристаллографических плоскостей с индексами (1 1 0) и (-1 1 0), (0 0 2). Первые два семейства связаны элементом симметрии. Параметры псевдогексагональной подъячейки: $a_t = 8,87$, $b_t = 8,87$, $c_t = 7,12 \text{ \AA}$, $\alpha_t = 85,1$, $\beta_t = 94,9$, $\gamma_t = 56,5^\circ$.

В случае β -[Ni(En)₃](ReO₄)₂ подъячейка с близкими линейными и угловыми параметрами — $a_t = 8,39$, $b_t = 9,01$, $c_t = 7,08 \text{ \AA}$, $\alpha_t = 72,7$, $\beta_t = 79,6$, $\gamma_t = 63,0^\circ$ — получена при использовании тройки плоскостей (см. рис. 3, г) с индексами (1 0 0) и (0 1 0) и (0 0 2). Вектора трансляционной подрешетки: $\mathbf{a}_t = \mathbf{a}$, $\mathbf{b}_t = \mathbf{b}$, $\mathbf{c}_t = \mathbf{c}/2$. Ее узлам должны следовать атомы Ni, действительно линейные параметры подъячейки хорошо коррелируют с расстояниями Ni...Ni: 8,394, 9,010 и 7,088 \AA . Так как угол γ_t близок к 60° , а $a_t \approx b_t$, можно рассмотреть упаковку кристаллической структуры

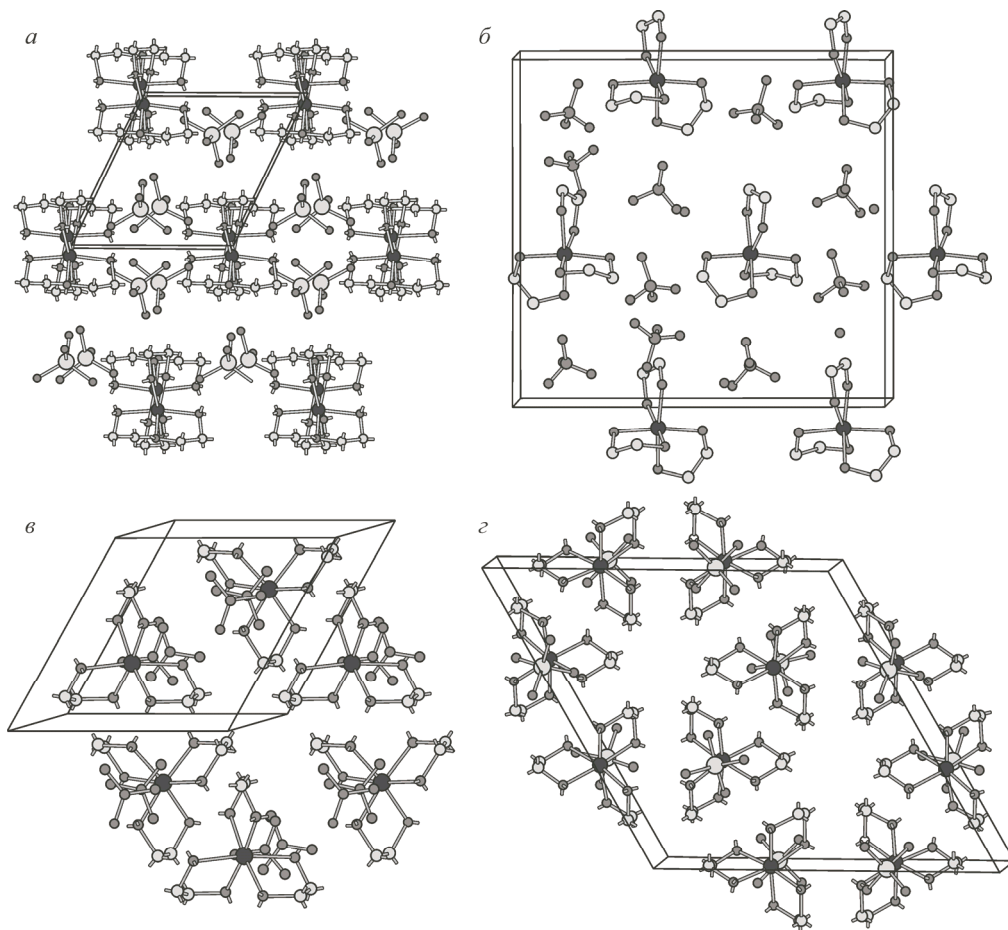


Рис. 4. Сравнение мотивов построения структур: β - $[\text{Ni}(\text{En})_3](\text{ReO}_4)_2$ (а), $[\text{Ni}(\text{En})_3](\text{ClO}_4)_2\text{H}_2\text{O}$ (б), $[\text{Ni}(\text{En})_3](\text{NO}_3)_2$ (в) и $[\text{Ni}(\text{En})_3](\text{MoO}_4)$ (г).
Атомы водорода не показаны

β - $[\text{Ni}(\text{En})_3](\text{ReO}_4)_2$ в направлении оси *c* (рис. 4, а). Мотив расположения атомов Ni (следовательно и КК) действительно близок и его можно характеризовать как псевдогексагональный.

Рассмотрим по этой же схеме упаковку кристаллической структуры $[\text{Ni}(\text{En})_3](\text{ClO}_4)_2\text{H}_2\text{O}$ [17, TENNIP]. Кристаллоструктурные характеристики даны в табл. 3. На ромбическую элементарную ячейку приходится 8 формульных единиц. Параметры трансляционной подъячейки: $a_t = b_t = 9,03$, $c_t = 6,75 \text{ \AA}$, $\alpha_t = \beta_t = 90^\circ$, $\gamma_t = 56,3^\circ$ и выражения для соответствующих векторов подрешетки: $\mathbf{a}_t = \mathbf{a}/4 + \mathbf{b}/2$, $\mathbf{b}_t = -\mathbf{a}/4 + \mathbf{b}/2$, $\mathbf{c}_t = \mathbf{c}/2$ позволяют рассматривать ее как псевдогексагональную в направлении оси *z*. Сравнивая эти метрики с найденными в α - и β - $[\text{Ni}(\text{En})_3](\text{ReO}_4)_2$, можно отметить удовлетворительное сходство. На рис. 4, б показано взаимное расположение фрагментов структуры $[\text{Ni}(\text{En})_3](\text{ClO}_4)_2\text{H}_2\text{O}$ в слое. Очевидно, что именно расположение КК является доминирующим при построении рассмотренных структур. Расположение анионов и молекул воды можно считать подчиненным.

Сравнивая мотив упаковки структур α - и β - $[\text{Ni}(\text{En})_3](\text{ReO}_4)_2$ с $[\text{Ni}(\text{En})_3](\text{NO}_3)_2$ (см. рис. 4, в), можно отметить их принципиальное отличие: в этой гексагональной структуре меньшие по размеру анионы сдваиваются и в таком виде чередуются с КК в направлении оси *z*. Такой же способ упаковки демонстрируют $[\text{Ni}(\text{En})_3](\text{SO}_4)$ и $[\text{Ni}(\text{En})_3](\text{MoO}_4)$ (см. рис. 4, г). Кристаллографические характеристики указанных структур даны в табл. 3.

Таким образом, в настоящей статье установлена изоструктурность комплексных солей $[\text{Ni}(\text{En})_3](\text{ReO}_4)_2$ и $[\text{Zn}(\text{En})_3](\text{ReO}_4)_2$. Проведен сравнительный кристаллохимический анализ

структур КС, содержащих $[Ni(En)_3]^{2+}$. Показан простой способ получения гомогенной смеси нанокристаллических порошков цинка и рения.

СПИСОК ЛИТЕРАТУРЫ

1. Беляев А.В., Коренев С.В., Лисойван В.И., Громилов С.А. // Пат. 1410378 РФ, МКИ4 В 22 F 9/16. (РФ). № 4144926. Заяв. 10.10.86. Опубл. 30.03.88. Бюл. № 17.
2. Коренев С.В., Байдина И.А., Корольков И.В., Громилов С.А. // Журн. структур. химии. – 2002. – **43**, № 3. – С. 527 – 533.
3. Губанов А.И., Коренев С.В., Громилов С.А., Шубин Ю.В. // Журн. неорган. химии. – 2003. – 48, № 3. – С. 407 – 412.
4. Громилов С.А., Коренев С.В., Корольков И.В., Юсенко К.В., Байдина И.А. // Журн. структур. химии. – 2004. – **45**, № 3. – С. 508 – 515.
5. Юсенко К.В., Громилов С.А., Корольков И.В., Байдина И.А., Романенко Г.В., Коренев С.В. // Журн. неорган. химии. – 2004. – **49**, № 4. – С. 568 – 573.
6. Юсенко К.В., Громилов С.А., Байдина И.А., Корольков И.В., Коренев С.В. // Журн. структур. химии. – 2005. – **46**, № 1. – С. 111 – 117.
7. Корольков И.В., Задесенец А.В., Громилов С.А., Юсенко К.В., Байдина И.А., Коренев С.В. // Журн. структур. химии. – 2006. – **47**, № 3. – С. 503 – 511.
8. Громилов С.А., Юсенко К.В., Шушарина Е.А. // Журн. структур. химии. – 2007. – **48**, № 5. – С. 957 – 962.
9. Байдина И.А., Макотченко Е.В., Шушарина Е.А., Плюснин П.Е., Смоленцев А.И., Громилов С.А. // Журн. структур. химии. – 2010. – **51**, № 3. – С. 544 – 551.
10. Юсенко К.В., Корольков И.В., Громилов С.А., Коренев С.В. // Журн. структур. химии. – 2007. – **48**, № 2. – С. 385 – 388.
11. Храненко С.П., Курачева Н.В., Громилов С.А. // Журн. структур. химии. – 2015. – **56**, № 2. – С. 367 – 371.
12. Байдина И.А., Филатов Е.Ю., Макотченко Е.В., Смоленцев А.И. // Журн. структур. химии. – 2012. – **53**, № 1. – С. 117 – 123.
13. Быкова Е.А., Храненко С.П., Громилов С.А. // Журн. структур. химии. – 2012. – **53**, № 1. – С. 186 – 190.
14. Neill D., Riley M.J., Kennard C.H.L. // Acta Crystallogr. – 1997. – **C53**. – P. 701.
15. Kraus W., Nolze G. // J. Appl. Cryst. – 1996. – **29**. – P. 301 – 302.
16. Sheldrick G.M. // Acta Crystallogr. – 2008. – **A64**, N 1. – P. 112 – 122.
17. Allen F.H. // Acta Crystallogr. – 2002. – **B58**, N 3-1. – P. 380 – 388.
18. Борисов С.В. // Журн. структур. химии. – 1986. – **27**, № 3. – С. 164 – 167.
19. Громилов С.А., Борисов С.В. // Журн. структур. химии. – 2003. – **44**, № 4. – С. 724 – 742.
20. Громилов С.А. Определение структурных мотивов координационных соединений на основе точных рентгенофрактометрических данных поликристаллов. Автореф. дисс. ... докт. физ.-мат. наук. – Новосибирск: ИНХ СО РАН, 2004.
21. Громилов С.А., Быкова Е.А., Борисов С.В. // Кристаллография. – 2011. – **56**, № 6. – С. 1013 – 1018.
22. Macchi P., Burgi H.-B., Chimpri A.S., Hauser J., Gal Z. // J. Appl. Crystallogr. – 2011. – **44**. – P. 763.
23. Jameson G.B., Schneider R., Dubler E., Oswald H.R. // Acta Crystallogr., Sect.B: Struct. Crystallogr. Cryst. Chem. – 1982. – **38**. – P. 3016.
24. Mazhar-Ul-Haque, Caughlan C.N., Emerson K. // Inorg. Chem. – 1970. – **9**, N 11. – P. 2421 – 2424.
25. Singh R., Gautam R.K. // J. Indian Chem. Soc. – 1987. – **64**. – P. 631.